



فشرده‌سازی مغناطیسی تپ منابع تغذیه‌ی دستگاه‌های مولد پرتو

آرش صادقی‌پناه، فربدون عباسی‌دوانی*

گروه کاربرد پرتوها، دانشکده مهندسی هسته‌ای، دانشگاه شهید بهشتی، صندوق پستی: ۱۹۸۳۹۶۳۱۱۳، تهران - ایران

چکیده: تپ‌های توان بالا با پهنه‌ای کم کاربردهای بسیاری در دستگاه‌های مولد پرتو نظیر دستگاه‌های رادیوگرافی تپی و مولدهای ریزامواج پرتوان دارند. یکی از روش‌های فشرده‌سازی تپ‌های توان بالا، فشرده‌سازی مغناطیسی است. این مقاله ابتدا به طراحی یک مولد تسلا با هسته‌ی اشعاع شده برای تولید یک تپ با ولتاژ 200 kV پرداخته و سپس تأثیر اشعاع هسته‌ی این ترانسفورماتور بر فشرده‌سازی تپ خروجی آن به کمک نرم‌افزارهای Proteus و CST EM Studio را مورد بررسی قرار می‌دهد. بررسی‌ها نشان می‌دهند که با اشعاع هسته‌ی ترانسفورماتور، رسانایی مغناطیسی و در نتیجه القاید گی سیم‌بیچه‌های آن کاهش می‌یابد که در اثر آن بسامد نوسانات جریان در ترانسفورماتور به صورت لحظه‌ای افزایش می‌یابد که این، به کاهش پهنه‌ای تپ خروجی می‌انجامد.

کلید واژه‌ها: فشرده‌سازی مغناطیسی تپ، مولد تسلا، تپ توان بالا، منبع تغذیه‌ی تپی

Magnetic Pulse Compression in Power Supplies of Radiation Generator Devices

A. Sadeghipanah, F. Abbasi Davani*

Radiation Application Department, Nuclear Engineering Faculty, Shahid Beheshti University, P.O.Box: 1983963113, Tehran - Iran

Abstract: High power pulses with low widths have many applications in radiation generator devices as flash radiography and high power microwave generators. One of the compression methods of high power pulses is magnetic pulse compression. In this paper a Tesla generator with saturated core which produces a 200 kV voltage pulse has been designed and then the effect of saturation of the core in the compression of the output pulse using Proteus and CST EM Studio codes was studied. Our studies showed that with saturation of the transformer's core, the magnetic permeability and hence the inductance of the transformer's coils will decrease and consequently the frequency of current oscillations in the transformer will momentarily increase where it will result in the decrease of the output pulse width.

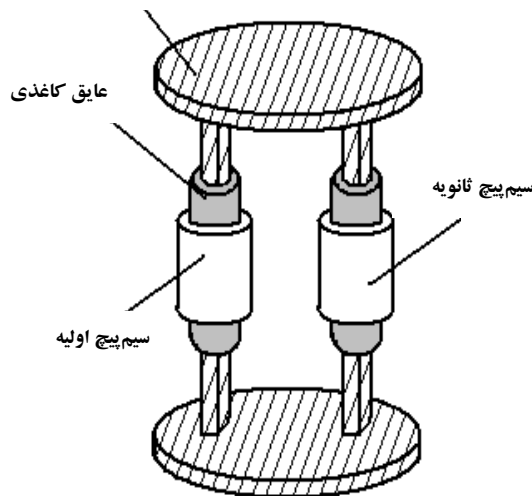
Keywords: Magnetic Pulse Compression, Tesla Generator, High Power Pulse, Pulsed Power Supply

*email: fabbasi@sbu.ac.ir

تاریخ دریافت مقاله: ۸۹/۹/۱ تاریخ پذیرش مقاله: ۹۰/۳/۱۸



هسته‌ی فولادی



شکل ۱. یک ترانسفورماتور تسلا با هسته‌ی U.

به منظور عایق کاری ساده‌تر و نیز کاهش ابعاد، محفظه‌ی ترانس در روغن ترانسفورماتور قرار می‌گیرد. این روغن‌ها توان تحمل میدان 280 kV/cm را در حالت جریان مستقیم (dc) دارند و در حالت تپی، برای تپ‌های با پهنه‌ای کم‌تر از $10 \mu\text{s}$ ، می‌توانند تا ۵ برابر این میدان را نیز تحمل کنند [۲]. در نتیجه با در نظر گرفتن یک ضریب اطمینان بالا، فاصله‌ی 2cm بین سیم‌پیچ‌ها برای جلوگیری از جرقه‌زنی در روغن کافی خواهد بود.

اما به دلیل رسانا بودن هسته‌ی ترانسفورماتور، احتمال ایجاد تخلیه‌ی سطحی و در نتیجه جرقه‌زنی بین دو طرف سیم‌پیچ ثانویه وجود دارد. با در نظر گرفتن یک ضریب اطمینان بالا، کافی است در دو طرف سیم‌پیچ ثانویه، عایق از هر دو طرف 2cm ادامه داده شود. جنس عایق کاغذ در نظر گرفته شده است تا پیچیدن سیم‌پیچ‌ها به دور آن و نیز آغشته کردن تمام سطوح آن به روغن ساده‌تر باشد. به این ترتیب هیچ حباب هوایی که توان تحمل عایق را کاهش دهد در آن ایجاد نخواهد شد.

ولتاژ شارژ اولیه، یک مقدار معقول و قابل دسترس انتخاب شده است تا توانایی ایجاد تخلیه در گاف جرقه را نیز داشته باشد. این ولتاژ برابر 10kV در نظر گرفته شده است. در نتیجه برای نسبت تعداد دوره‌های سیم‌پیچ اولیه به ثانویه‌ی ترانس، داریم

$$\frac{n_2}{n_1} = \frac{200}{10} = 20 \quad (1)$$

۱. مقدمه

سیستم‌های مولد تپ‌های توان بالا کاربردهای بسیاری در صنایع مختلف نظیر جوش لیزری، عکس‌برداری، شکل‌دهی فلزات، و ... دارند، اما یکی از مهم‌ترین کاربردهای آن‌ها در ساخت دستگاه‌های مولد پرتو نظیر مولد‌های باریکه‌ی الکترونی شدت بالا، دستگاه‌های رادیوگرافی تپی، مولد‌های نوترون تپی و ... است [۱].

یکی از انواع این مولد‌ها که استفاده از آن‌ها امروزه مورد توجه بیش‌تری قرار گرفته، مولد‌های تسلا است. چرا که انواع دیگر مولد‌های تپ توان بالا نظیر مولد‌های مارکس و ذخیره‌کننده‌های انرژی القایی دارای مشکلاتی مانند طول عمر پایین، عدم توانایی تولید تپ‌های متناوب و ابعاد و وزن بالا هستند. ضمناً مولد‌های تسلا در مقایسه با سایر مولد‌ها دارای مزایای بسیاری نیز هستند که از آن جمله می‌توان به بسامد کار بالا، طول عمر و قابلیت اطمینان و امنیت بالا، هزینه و ابعاد و وزن کم و عدم نیاز به ولتاژ اولیه‌ی بالا اشاره کرد [۱ و ۲].

این مزایا باعث شده‌اند که امروزه بسیاری از شتاب‌دهنده‌های دنیا نظیر شتاب‌دهنده‌ی TONUS در روسیه سیستم تخلیه‌ی انرژی اولیه‌ی خود را از مولد مارکس به مولد تسلا ارتقاء دهند [۳].

۲. طراحی ترانسفورماتور تسلا با هسته‌ی U

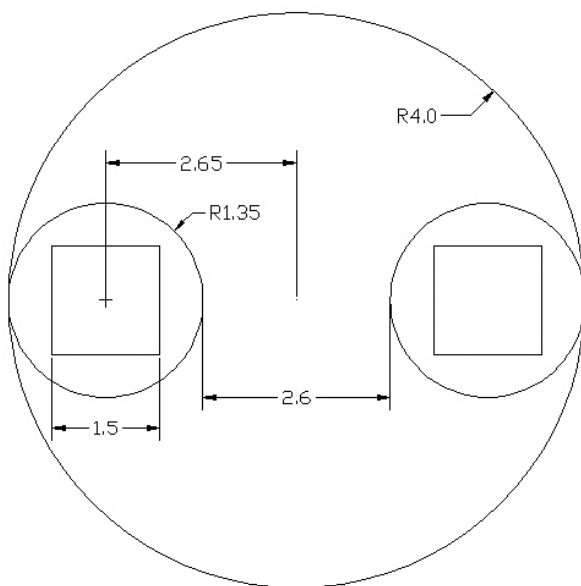
هدف این پژوهش، طراحی یک مولد تپ برای تغذیه‌ی یک شتاب‌دهنده‌ی الکترواستاتیکی قابل حمل است که توانایی تولید تپ با ولتاژ 200kV ، جریان حدود 5mA و پهنه‌ی تپ کم‌تر از $1\mu\text{s}$ را داشته باشد. البته به علت پایین بودن جریان مورد نیاز، حداکثر جریان خروجی مولد تسلا بسیار بیش‌تر از آن خواهد بود. لذا این پارامتر در روند طراحی تأثیری نخواهد داشت. طراحی‌های متفاوتی برای هسته‌ی ترانسفورماتور تسلا وجود دارد که از میان آن‌ها هسته‌ی U در مواردی که از خطوط شکل‌دهنده‌ی تپ استفاده نمی‌شود مناسب‌ترین طراحی از نظر ابعاد، وزن و سادگی در ساخت هستند. شکل ۱ یک ترانسفورماتور تسلا با هسته‌ی U را نشان می‌دهد.



فولادی نگهدارنده میله‌ها برابر 4cm انتخاب شده و مرکز میله‌ها و عایق‌های روی آن‌ها در شعاع $2,65\text{cm}$ قرار گرفته است. ضخامت این صفحه‌ها نیز 1cm در نظر گرفته شده است. شکل ۲ سطح مقطع یکی از این صفحه‌ها را که سطح مقطع میله‌های فولادی و عایق‌های شان روی آن رسم شده‌اند، نمایش می‌دهد. با پیچیده شدن سیم‌های به قطر 3mm روی عایق‌ها، فاصله‌ی سیم‌ها از یکدیگر برابر 2cm خواهد شد. سیم‌پیچ ثانویه دارای 100 دور است. لذا، طول آن برابر 30cm می‌شود و از هر طرف نیز 2cm فاصله تا صفحه‌ها موردنیاز است. در نتیجه طول میله‌ها و عایق‌های روی آن‌ها برابر 34cm خواهد بود.

۳. شبیه‌سازی میدان‌های مغناطیسی و محاسبه القاییدگی‌ها و ضربیت تزویج

در این قسمت، ترانسفورماتور طبق اندازه‌های طراحی شده برای آن در نرم‌افزار CST EM Studio و در حالت مغناطیسی ساکن مدل شده است. برای کاهش پیچیدگی مدل و در نتیجه کاهش زمان شبیه‌سازی، هسته به جای شکل ورقه ورقه به شکل یک‌پارچه مدل شده ولی جریان‌های گردابی در شبیه‌سازی محاسبه نشده و در نظر گرفته نشده‌اند. هسته از جنس فولاد $1,08$ ، عایق‌ها از جنس کاغذ و سیم‌پیچ‌ها از جنس مس در نظر گرفته شده‌اند.



شکل ۲. سطح مقطع یکی از صفحه‌های نگهدارنده به همراه سطح مقطع میله‌ها و عایق‌های روی آن‌ها.

تعداد دورهای سیم‌پیچ اولیه به نحوی انتخاب شده است که هم القاییدگی در دو طرف ترانسفورماتور مناسب باشد و هم تعداد دورهای سیم‌پیچ ثانویه در حد قابل قبولی باقی بماند. تعداد دورهای این سیم‌پیچ $n_1=5$ در نظر گرفته شده است. در نتیجه برای تعداد دورهای سیم‌پیچ ثانویه داریم

$$n_2=100 \quad (2)$$

لذا اختلاف پتانسیل بین هر دو حلقه از سیم‌پیچ ثانویه برابر خواهد بود با

$$V_r = \frac{200\text{kV}}{100} = 2\text{kV} \quad (3)$$

در نتیجه اگر سیم‌پیچ‌ها با استفاده از سیم‌های معمولی به قطر 2mm که روکشی از جنس لاستیک به ضخامت $0,5\text{mm}$ دارند پیچیده شوند، روکش آن‌ها توانایی تحمل ولتاژ بین حلقه‌ها را خواهد داشت.

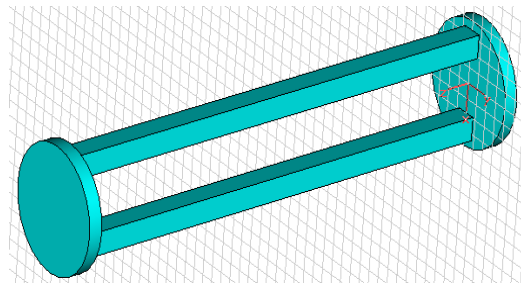
برای جلوگیری از ایجاد جریان‌های گردابی، لازم است هسته‌ی ترانسفورماتور به صورت ورقه ورقه ساخته شده و بین این ورقه‌ها عایقی نظیر کاغذ قرار گیرد.

چون فولاد از مقاومت بیشتری در برابر خوردگی و دیگر تغییرات شیمیایی برخوردار است، لذا از آن برای ساخت هسته‌ی ترانسفورماتور استفاده شده است.

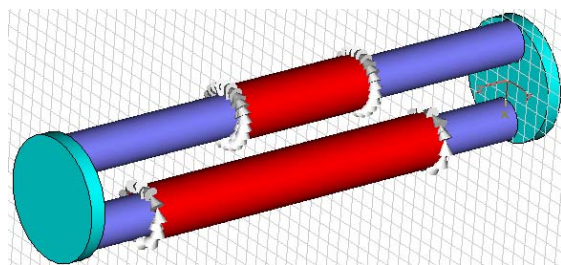
برای سادگی در ساخت به شکل ورقه ورقه، میله‌هایی که سیم‌ها به دور آن‌ها پیچیده خواهند شد با سطح مقطع مربع شکل و به منظور افزایش ضربیت تزویج، ضلع آن $1,5\text{cm}$ انتخاب شده است. برای تحمل ولتاژ 200kV با یک ضربیت اطمینان بالا ضخامت عایق کاغذی 3mm در نظر گرفته شده است و به منظور ساده‌سازی سیم‌پیچ‌ها، برای عایق کاغذی سطح مقطع، دایره‌ای فرض شده است. برای این که کمترین ضخامت لایه‌ی کاغذ برابر 3mm باشد، شعاع سطح مقطع باید این باشد

$$r = \sqrt{0,75^2 + 0,75^2} + 0,3 \approx 1,35\text{ cm} \quad (4)$$

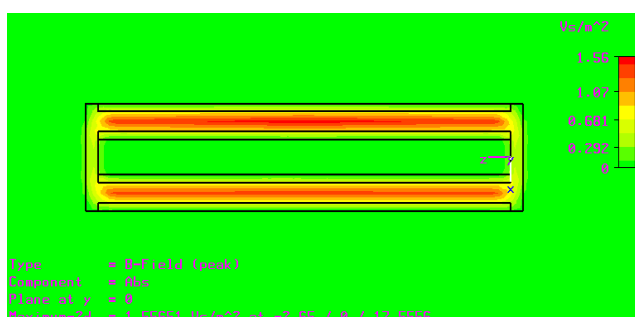
شعاع سیم‌ها همراه با روکش آن‌ها برابر 3mm است و برای این که فاصله‌ی بین آن‌ها حداقل 2cm باشد، شعاع صفحه‌های



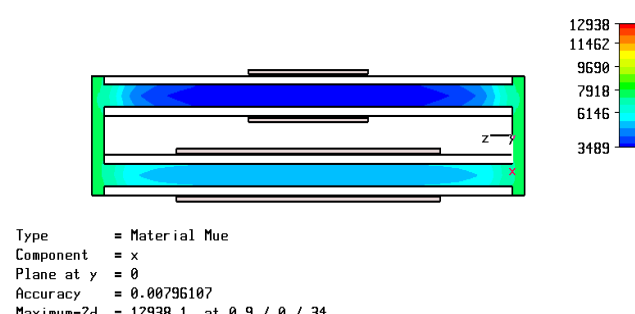
شکل ۳. هسته‌ی ترانسفورماتور مدل شده در نرم‌افزار CST.



شکل ۴. ترانسفورماتور کامل مدل شده در نرم‌افزار CST.



شکل ۵. چگالی شار مغناطیسی در برش طولی هسته‌ی ترانسفورماتور.



شکل ۶. رسانایی مغناطیسی در برش طولی هسته‌ی ترانسفورماتور.

جدول ۱. القایدگی‌ها و ضریب تزویج ترانسفورماتور هسته U در نرم‌افزار CST

۷۱μH	القایدگی سیم‌پیچ اولیه، L_1
۲۴.۷mH	القایدگی سیم‌پیچ ثانویه، L_2
۱.۲۲mH	القایدگی متقابل دو سیم‌پیچ، M
.۹۲	ضریب تزویج دو سیم‌پیچ، k

طول سیم‌پیچ ثانویه برابر طراحی 30 cm و طول سیم‌پیچ اولیه 11 cm انتخاب شده است (طول سیم‌پیچ اولیه در هیچ کدام از پارامترهای ترانسفورماتور تأثیر چندانی ندارد). برای محاسبه‌ی جریان سیم‌پیچ اولیه پنهانی تپ خروجی در طراحی اولیه $1\mu\text{s}$ در نظر گرفته شده است، لذا جریان بیشینه‌ی سیم‌پیچ اولیه برابر خواهد بود با

$$f = \frac{1}{2\mu s} = 50 \text{ kHz} \quad (5)$$

$$\omega = 2\pi f = 314000 \quad (6)$$

$$X_L = L\omega = 70\mu\text{H} \times 314000 = 220 \Omega \quad (7)$$

$$I_{\text{peak}} = \frac{10 \text{ kV}}{220 \Omega} = 45 \text{ A} \quad (8)$$

سیم‌پیچ اولیه با ۵ دور و با جریان 45 آمپر و سیم‌پیچ ثانویه با 100 دور و با جریان 10 آمپر مدل شده است. چگالی شار ایجاد شده در درون هسته از جریان سیم‌پیچ اولیه ناشی می‌شود و جریان درون سیم‌پیچ ثانویه نیز در نتیجه‌ی این چگالی شار ایجاد می‌شود. جریان ورودی سیم‌پیچ ثانویه تنها برای محاسبه‌ی القایدگی آن است، لذا این جریان تا حد ممکن کاهش می‌یابد تا تأثیری بر چگالی شار مغناطیسی درون هسته نداشته باشد. شکل ۳ هسته‌ی ترانسفورماتور و شکل ۴ ترانسفورماتور کامل به همراه عایق‌ها را نشان می‌دهد.

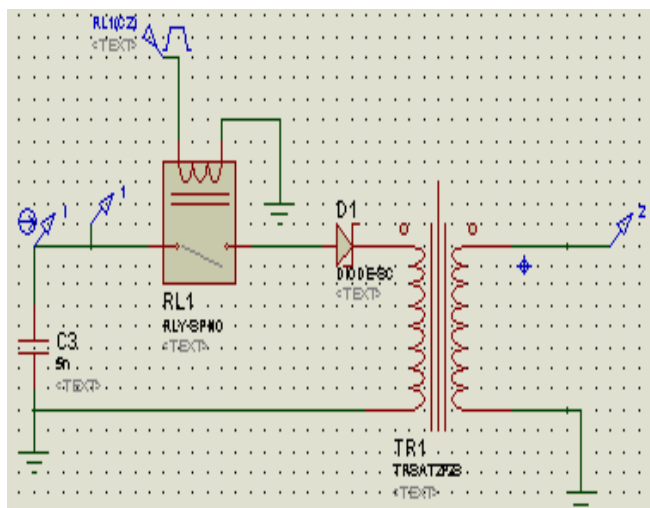
شیوه‌سازی با اعمال شرایط مرزی باز^(۱) برای میدان مغناطیسی در بیرون ترانسفورماتور و مشبندی شش وجهی^(۲) و با خطای کمتر از 10^{-9} برای انرژی، انجام شده است. مقادیر به دست آمده برای القایدگی و ضریب تزویج ترانسفورماتور در جدول ۱ داده شده‌اند. لازم به ذکر است که نرم‌افزار CST مقادیر القایدگی را برای حالتی که هسته هنوز اشباع نشده است محاسبه می‌کند. لذا در صورت اشباع هسته، این مقادیر بسته به میزان چگالی شار مغناطیسی کاهش خواهد یافت.

برای بررسی وضعیت هسته‌ی ترانسفورماتور از نظر اشباع شدگی، کافی است چگالی شار مغناطیسی و یا رسانایی مغناطیسی درون آن بررسی شود. شکل ۵ چگالی شار مغناطیسی و شکل ۶ رسانایی مغناطیسی در برش طولی هسته ترانسفورماتور را نشان می‌دهد.

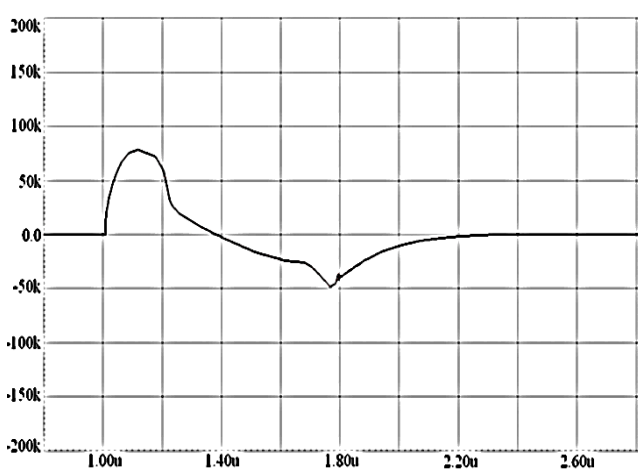


چون مدلی برای ارایه‌ی گاف جرقه^(۳) در نرم‌افزار وجود ندارد، لذا برای نزدیک شدن به مدل واقعی از مدل رله^(۴) برای مدل‌سازی سوئیچ‌ها استفاده و چون بسامد کار مدار تقریباً ثابت است، یک مقاومت ظاهری ثابت 1Ω برای آن در نظر گرفته شد. زمان عملکرد سوئیچ نیز 100 ns انتخاب شد. برای نزدیک تر شدن به مدل گاف جرقه این مدل به گونه‌ای در نظر گرفته شد که بعد از انتقال تپ اول جریان به سرعت قطع شده و تپ‌های بعدی عبور نکند. این مدل‌سازی با اتصال متواالی یک دیود سریع به سوئیچ به انجام رسید.

شکل ۷ مدل مولد تسلا با هسته‌ی U در نرم‌افزار Proteus، شکل ۸ ولتاژ خروجی آن و شکل ۹ جریان ورودی آن را بر حسب زمان نشان می‌دهد.



شکل ۷. مدل مولد تسلا با هسته‌ی U با سوئیچ سریع در نرم‌افزار Proteus



شکل ۸. ولتاژ خروجی مولد تسلا با هسته‌ی U با سوئیچ سریع.

همان‌طور که در شکل ۵ مشاهده می‌شود، تقریباً تمام شار مغناطیسی از درون هسته و در نتیجه شار سیم پیچ اولیه از سیم پیچ ثانویه عبور می‌کند. بنابراین، ضریب تزویج ترانسفورماتور بسیار نزدیک ۱ خواهد بود. اما این مقدار چگالی شار مغناطیسی در بیش‌ترین مقدار خود به $1,6\text{ T}$ ، که در ناحیه‌ی اشباع قرار دارد، نزدیک می‌شود. به علاوه رسانایی مغناطیسی نسبی نیز در این ناحیه کاهش یافته و به حدود $3500\text{ M}\Omega$ رسید که نشان‌دهنده‌ی قرار گرفتن هسته‌ی ترانسفورماتور در ناحیه‌ی اشباع است.

۴. شبیه‌سازی مداری ترانسفورماتور با هسته‌ی U

در این بخش عملکرد ترانسفورماتور با هسته‌ی U طراحی شده در بخش‌های قبل به کمک نرم‌افزار Proteus شبیه‌سازی شده است. شبیه‌سازی با استفاده از مدل ترانسفورماتور اشباع شده انجام گرفته است. مقادیر اولیه‌ی این ترانسفورماتور برای داشتن پهنه‌ای تپ $1\mu\text{s}$ برابر است با

$$L_1=70\text{ }\mu\text{H} \quad (9)$$

$$C_1=5\text{nF} \quad (10)$$

و نسبت سیم پیچ اولیه به سیم پیچ ثانویه نیز این است

$$\frac{n_p}{n_s}=0,05 \quad (11)$$

القاییدگی نشتی نیز با توجه به ضریب تزویج $0,90$ ، برابر 10% القاییدگی اولیه انتخاب می‌شود

$$L_{\text{leak}}=7\mu\text{H} \quad (12)$$

و برای سطح مقطع هسته نیز با صرف نظر از افزایش آن در صفحه‌های ابتدایی و انتهایی آن به دلیل کوچکی مسیر شار آن‌ها

$$A=2,25\text{cm}^2 \quad (13)$$

و طول مسیر شار نیز برابر است با

$$l=84\text{cm} \quad (14)$$

و در نهایت برای مقاومت سیم پیچ‌های اولیه و ثانویه نیز داریم

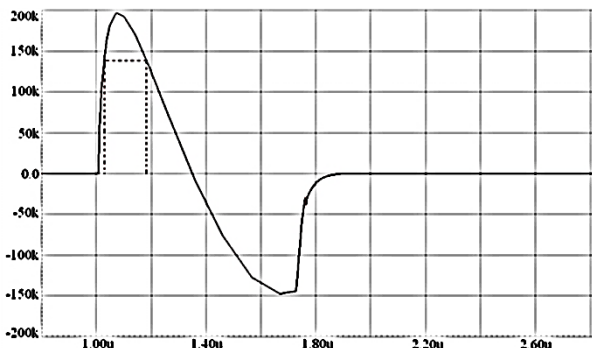
$$R_p=2\Omega \quad (15)$$

$$R_s=40\Omega \quad (16)$$



جدول ۲. تغییرات ولتاژ خروجی بر حسب نسبت سیم‌پیچ اولیه به ثانویه

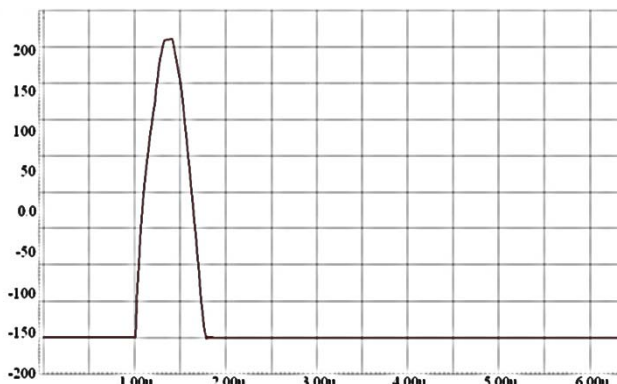
n_p/n_s	V_{max} (kV)
۰,۰۵	۸۰
۰,۰۴	۹۰
۰,۰۳	۱۱۵
۰,۰۲	۱۴۰
۰,۰۱	۲۰۰

شکل ۱۰. ولتاژ خروجی مولد تسلا با هسته‌ی U در حالت $n_p/n_s = 0,01$

جدول ۳. تغییرات پهنه‌ی تپ بر حسب ظرفیت خازن در مولد تسلا با هسته‌ی U

C_1 (nF)	پهنه‌ی تپ (ns)	پهنه‌ی بخش بالای ۱۴۰kV (ns)
۵	۳۵۰	۱۶۰
۲۵	۶۵۰	۲۶۰
۵۰	۸۶۰	۳۰۰
۱۰۰	۱۱۰۰	۳۰۰
۱۵۰	۱۲۶۰	۳۰۰
۲۰۰	۱۳۷۰	۳۰۰
۳۰۰	۱۵۴۰	۳۰۰
۵۰۰	۱۷۷۰	۳۰۰
۱۰۰۰	۲۰۰۰	۳۰۰
۵۰۰۰	۲۵۸۰	۳۰۰

براساس اطلاعات جدول ۳، افزایش ظرفیت خازن در آن سوی 50nF تنها دنباله‌ی تپ را افزایش می‌دهد و پهنه‌ی قسمتی که دامنه‌ی آن بالاتر از 140kV است ثابت و مستقل از ظرفیت خازن می‌باشد. زیرا همان‌طور که در بخش‌های پیشین نیز ذکر شد، با افزایش ظرفیت خازن جریان افزایش یافته و در نتیجه هسته بیشتر به اشباع می‌رود. لذا رسانایی مغناطیسی آن بیشتر کاهش یافته و جریان مجدد افزایش می‌یابد و این دو فرایند در پهنه‌ی تپ 300ns با یکدیگر به تعادل می‌رسند.



شکل ۹. جریان ورودی مولد تسلا با هسته‌ی U با سوئیچ سریع.

همان‌گونه که در این شکل‌ها مشاهده می‌شود، پهنه‌ی تپ خروجی به 400ns کاهش یافته و به علاوه به دلیل استفاده از سوئیچ سریع، تنها دو تپ با دوگانگی (مثبت و منفی بودن)^(۵) مخالف داریم که در تپ اول حداقل دامنه قابل دسترسی است. اما به دلیل اشباع هسته، این مقدار تقریباً نصف مقدار موردنظر است. برای دست‌یابی به ولتاژ موردنظر در خروجی، نسبت تعداد دورهای سیم‌پیچ اولیه به ثانویه، n_p/n_s به تدریج کاهش داده شد و ولتاژ خروجی مولد به کمک نرم‌افزار محاسبه گردید. جدول ۲ نتیجه‌ی این محاسبات را ارایه می‌دهد.

براساس اطلاعات جدول ۲ برای دست‌یابی به ولتاژ خروجی 200kV ، لازم است تعداد دورهای سیم‌پیچ ثانویه صد برابر سیم‌پیچ اولیه باشد. این افزایش در تعداد دورها، منجر به افزایش طول ترانسفورماتور خواهد شد، اما این افزایش تعداد دور، بین حلقه‌های سیم‌پیچ به کاهش اختلاف پتانسیل نیز می‌انجامد. در نتیجه ضخامت مورد نیاز روكش سیم کمتر شده و می‌توان به طول کمتری برای ترانسفورماتور دست‌یابی کرد. ضمناً مقاومت سیم‌پیچ ثانویه نیز به 200Ω افزایش خواهد یافت.

شکل ۱۰ ولتاژ خروجی ترانسفورماتور بر حسب زمان را در حالت $n_p/n_s = 0,01$ نشان می‌دهد. در این شکل دیده می‌شود که پهنه‌ی تپ برابر 350ns و پهنه‌ی بخشی از تپ که دامنه‌ی آن بالاتر از 140kV است برابر 160ns است.

برای افزایش پهنه‌ی تپ، ظرفیت خازن به تدریج افزایش داده شده و پهنه‌ی تپ و پهنه‌ی بخشی از تپ که دامنه‌ی ولتاژ آن بالاتر از 140kV است به کمک نرم‌افزار محاسبه شده است. جدول ۳ نتایج این محاسبات را نمایش می‌دهد.



پی‌نوشت‌ها:

۱. Open Boundary Condition
۲. Hexahedral
۳. Spark Gap
۴. Relay
۵. Polarity
۶. Feedback

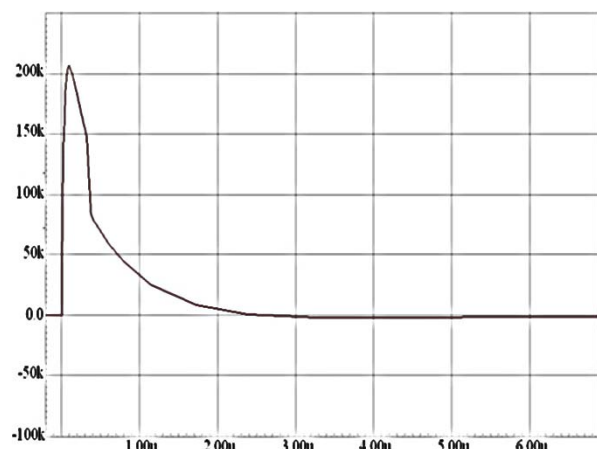
References:

1. Marco Denicolai, Tesla Transformer for experimentation and research–Helsinki university of technology–Licentiate thesis, 2-10, 24-28, 30 (May 2001).
2. Gennady A. Mesyats, Pulsed Power–Springer Science+Business Media, Inc., 251-256 (USA 2005).
3. A.I. Ryabchikov, et al, “Upgrading of the high-current accelerator "TONUS",” Nuclear Physics Institute at Tomsk Polytechnic University, Plenum Publishing Corporation, Tomsk (Russia 1977).

لازم به ذکر است که با افزایش ظرفیت خازن، دامنه‌ی تپ منفی دوم کم‌تر می‌شود تا این که برای ظرفیت‌های بزرگ‌تر از $1\mu\text{F}$ تقریباً ناچیز شود (کم‌تر از 10kV). شکل ۱۱ ولتاژ خروجی مولد را برای $C_1=5\mu\text{F}$ بر حسب زمان نشان می‌دهد.

۵. بحث و نتیجه‌گیری

همان‌گونه که نتایج شبیه‌سازی مداری نشان می‌دهد، در حالت اشباع در اثر کاهش رسانایی مغناطیسی، القاییدگی سیم‌پیچ اولیه کاهش می‌یابد. در نتیجه جریان سیم‌پیچ اولیه هنگام تخلیه‌ی خازن بیش‌تر شده و از این‌رو هسته بیش‌تر به اشباع رفت، رسانایی مغناطیسی و القاییدگی بیش‌تر کاهش یافته و در نتیجه یک بازخورد^(۶) مشبت رخ می‌دهد. اما این افزایش جریان و کاهش القاییدگی پس از مدتی با هم به تعادل می‌رسند که در نتیجه‌ی آن پهنانی تپ خروجی در این ترانسفورماتور بدون وابستگی خاصی به اجزای مدار، به حدود یک تا دو میکروثانیه و پهنانی آن بخش از تپ که دامنه‌ی آن بالاتر از 140kV است نیز به 300ns محدود می‌شود. اما این فشرده‌سازی باعث افزایش طول ترانسفورماتور از مقدار بهینه‌ی آن می‌شود چرا که برای رسیدن به ولتاژ موردنظر لازم است تعداد دوره‌ای سیم‌پیچ ثانویه به سیم‌پیچ اولیه افزایش یابد.



شکل ۱۱. ولتاژ خروجی مولد تسللا با هسته‌ی U برای $C_1=5\mu\text{F}$